Zur Polymorphie des Ba(BrO₃)₂ und Sr(IO₃)₂, Kristallstruktur, röntgenographische, schwingungsspektroskopische und thermoanalytische Untersuchungen

Polymorphism of $Ba(BrO_3)_2$ and $Sr(IO_3)_2$ – Crystal Structure, X-Ray, IR, Raman, and Thermoanalytical Data

Heinz Dieter Lutz*, Ekrem Alici, Thomas Kellersohn und Peter Kuske

Universität-GH-Siegen, Anorganische Chemie I, Postfach 101240, D-5900 Siegen, BRD

Herrn Prof. Dr. Dirk Reinen zum 60. Geburtstag gewidmet

Z. Naturforsch. 45b, 587-592 (1990); eingegangen am 10. Juli 1989

Bromates, Iodates, Strontium, Barium, Crystal Structure

The polymorphic behaviour of Ba(BrO₃)₂ and Sr(IO₃)₂ is studied by means of differential thermal analyses and high-temperature X-ray and Raman spectroscopic measurements. On dehydration of the respective monohydrates [Ba(ClO₃)₂·H₂O type] at low temperatures in a vacuum Ba(BrO₃)₂ I and α -Sr(IO₃)₂ (both α -Ba(IO₃)₂ type, space group C2/c, Z=4) are formed. On heating these polymorphs above 145 and 240 °C, respectively, phase transitions to Ba(BrO₃)₂ II [Sr(ClO₃)₂ type] and the hitherto unknown γ-Sr(IO₃)₂ occur. On further heating Ba(BrO₃)₂ II decomposes [partly *via* the high-temperature polymorph Ba(BrO₃)₂ III] to BaBr₂ and O₂, γ-Sr(IO₃)₂ *via* the probably only stable polymorph β -Sr(IO₃)₂ to iodine and strontium paraperiodate. The IR and Raman spectra of Ba(BrO₃)₂ I and III, α -, β - and γ -Sr(IO₃)₂, and α -Ba(IO₃)₂ are given. The crystal structure of Ba(BrO₃)₂ I has been determined by single crystal X-ray diffraction. The final R value for 1586 reflections with I $\geq 2\sigma_1$ is 0.064. The crystal structures of the α -Ba(IO₃)₂ type anhydrous halates are very similar to those of the Ba(ClO₃)₂·H₂O type halate monohydrates.

1. Einleitung

Phasenverhältnisse und Strukturchemie wasserfreier Chlorate. Bromate und Iodate zweiwertiger Metalle sind (trotz ihrer möglichen Bedeutung als elektrooptische Materialien, s. z.B. α -LiIO₃ [1, 2]) nur sehr unvollständig bekannt. Dies liegt u.a. an der schwierigen Darstellung von Einkristallen [3] sowie an den teilweise komplizierten Polymorphieverhältnissen [4-6]. In einer früheren Untersuchung [3]konnten wir zeigen, daß die damals bekannten Kristallstrukturen der wasserfreien Halogenate des Bariums, Strontiums und Bleis sich auf eine hypothetische AB₂-Struktur mit diamantartiger Anordnung der Metallionen in der gemeinsamen Übergruppe Fddd zurückführen lassen. Inzwischen zeigte sich jedoch, daß die Strukturchemie dieser Verbindungsklasse wesentlich komplexer ist, als zunächst angenommen wurde, und weitere bisher größtenteils noch nicht aufgeklärte Strukturtypen existieren. In der vorliegenden Arbeit wurden das polymorphe Verhalten des Ba(BrO₃)₂ und Sr(IO₃)₂ mit Hilfe von Differenzthermoanalysen sowie Röntgen-

Nach Dupuis *et al.* [4] ist Ba(BrO₃)₂ dimorph. Das IR-Spektrum einer weiteren Form des Ba(BrO₃)₂, von uns im folgenden Ba(BrO₃)₂ III bezeichnet, wurde ohne nähere Angaben in [9] mitgeteilt. Die in [4] mit Ba(BrO₃)₂ II bezeichnete Form kristallisiert im Sr(ClO₃)₂-Typ [3]. Über die Kristallstruktur des Ba(BrO₃)₂ II haben wir zusammen mit den Strukturen der isotypen Verbindungen Ba(ClO₃)₂ und Pb(ClO₃)₂ an anderer Stelle [10] berichtet. Über Sr(IO₃)₂ ist bisher mit Ausnahme einer chinesischen Arbeit [5], in der von zwei polymorphen Formen, α -Sr(IO₃)₂ und β -Sr(IO₃)₂, berichtet wird, nur sehr wenig bekannt.

2. Darstellung von Einkristallen und polykristallinen Präparaten

Einkristalle (Plättchen mit $0.4\times0.1\times0.04$ mm Kantenlänge) und polykristalline Präparate des

Ramanheizaufnahmen untersucht und die erhaltenen Modifikationen röntgenographisch und schwingungsspektroskopisch charakterisiert. Ferner werden die Kristallstruktur des $Ba(BrO_3)_2$ I mitgeteilt und die Struktur des α -Ba(IO₃)₂-Typs [7] (α -Ba(IO₃)₂ [5, 7], $Ba(BrO_3)_2$ I und α -Sr(IO₃)₂) mit der der strukturverwandten Monohydrate des $Ba(ClO_3)_2 \cdot H_2O$ -Typs [8] diskutiert.

^{*} Sonderdruckanforderungen an Prof. Dr. H. D. Lutz. Verlag der Zeitschrift für Naturforschung, D-7400 Tübingen 0932-0776/90/0500-0587/\$ 01.00/0

Ba(BrO₃)₂ I (Ba(BrO₃)₂ II s. [3]) erhält man durch Entwässern des Monohydrats [8] im Vakuum bei 60-70 °C. Die Darstellung von polykristallinen Präparaten des α -Sr(IO₃)₂ und α -Ba(IO₃)₂ erfolgte analog bei 95 °C. Einkristalle des β -Sr(IO₃)₂ wurden durch Gelkristallisation in einem Kieselsäuregel bei 70 °C sowie durch langsames Einengen einer wässerigen Lösung kurz unterhalb des Siedepunktes des Wassers erhalten. Polykristalline Präparate des Ba(BrO₃)₂ III, γ -Sr(IO₃)₂ (s. unten) und β -Sr(IO₃)₂ können durch Abschrecken von auf Temperaturen von 270–300, 240–300, bzw. > 420 °C erhitzten Präparaten erhalten werden.

3. Thermoanalytische Untersuchungen

Röntgenheizaufnah-Differenzthermoanalysen, men und Ramanheizaufnahmen der erhaltenen Präparate zeigen, daß Ba(BrO₃)₂ I und α -Sr(IO₃)₂ bei 145 bzw. 240 °C (onsets der DTA-Kurven) endotherm in Ba(BrO₃)₂ II bzw. eine bisher noch nicht beschriebene Form des $Sr(IO_3)_2$, im folgenden γ - $Sr(IO_3)_2$ genannt, umgewandelt werden. Bei der Entwässerung der Monohydrate unter Normaldruck (DTA-Aufnahmen) [11] werden Ba(BrO₃)₂ II (bzw. ein Gemisch von Ba(BrO₃)₂ I und II) sowie β -Sr(IO₃)₂ gebildet (onset-Temperaturen 155 bzw. 180 °C). Eine Rückumwandlung des Ba(BrO₃)₂ II sowie des γ - und β -Sr(IO₃)₂ in Ba(BrO₃)₂ I bzw. α -Sr(IO₃)₂ konnte weder beim Abkühlen der Präparate noch bei längerem Aufbewahren bei Raumtemperatur beobachtet

Beim Erhitzen des Ba(BrO₃)₂ II auf höhere Temperaturen erfolgt Zersetzung zu BaBr₂ und O₂ (onset > 300 °C) (s. auch [11]) mit oder ohne (je nach den Versuchsbedingungen) vorherige Bildung (onset 270 °C) der Hochtemperaturmodifikation Ba(BrO₃)₂ III, die nach Abschrecken auf Raumtemperatur innerhalb weniger Tage in Ba(BrO₃)₂ II zurückverwan-

delt wird. Ba(BrO₃)₂ III, dessen Bildung in [11] (DTA-Peak bei 279 °C) nicht erkannt wurde, wurde in [12] fälschlicherweise als Bariumbromit [Ba(BrO₂)₂] beschrieben (s. auch [9]). γ -Sr(IO₃)₂ wandelt sich bei 415 °C exotherm in β -Sr(IO₃)₂ um. Beim weiteren Erhitzen erfolgt Disproportionierung zu Iod und Paraperiodat [11].

4. Röntgenographische Charakterisierung

Ba(BrO₃)₂ I kristallisiert nach Präzessionsaufnahmen in der monoklinen Raumgruppe C2/c-C_{2h} mit Z = 4. Es ist isotyp mit α -Ba(IO₃)₂ [5, 7]. Gitterkonstanten s. Tab. I. Die röntgenographische Dichte beträgt 4,033 g·cm⁻³, die des Ba(BrO₃)₂ II (Sr(ClO₃)₂-Typ [3, 10]) $4,074 \text{ g} \cdot \text{cm}^{-3}$. $\alpha - \text{Sr}(\text{IO}_3)_2$ kristallisiert nach Auswertung der Guinier-Pulverdaten mit dem Indizierungsprogramm ITO [13] ebenfalls im α -Ba(IO₃)₂-Typ. β -Sr(IO₃)₂ kristallisiert wahrscheinlich triklin in einem bisher nicht bekannten Strukturtyp. Aufgrund der Netzebenenabstände d kann angenommen werden, daß die von uns erhaltenen polymorphen Formen α - und β -Sr(IO₃)₂ den in [5] beschriebenen Verbindungen entsprechen. Ba(BrO₃)₂ III und γ -Sr(IO₃)₂ kristallisieren offensichtlich ebenfalls in bisher nicht bekannten Strukturtypen.

5. Kristallstruktur des Ba(BrO₃)₂ I

Die Kristallstruktur des Ba(BrO₃)₂ I wurde mit Hilfe direkter Methoden und Fouriersynthesen bestimmt und mit Atomformfaktoren für neutrale Atome mit Least-Squares-Verfahren bis R = 6.4% bei 1586 beobachten (I $\geq 2\sigma_{\rm I}$) Reflexen verfeinert*.

Tab. I. Gitterkonstanten, röntgenographische Dichten [g·cm⁻³] und Zellvolumina von Bromaten und Iodaten des α -Ba(IO₃)₂- und Ba(ClO₃)₂·H₂O-Typs (Aufstellung in der in [7] gewählten Zelle der Raumgruppe C2/c).

	a [pm]	<i>b</i> [pm]	c [pm]	β [°]	$d_{r\ddot{o}}$	V(nm³)
Ba(BrO ₃) ₂ I	1331,5(3)	790,2(2)	858,0(2)	134,17(1)	4,03	0,6475
$Ba(BrO_3)_2 \cdot H_2O$ [8]	1360,2(2)	789,56(8)	907,1(1)	135,0(1)	3,96	0,6888
α -Sr(IO ₃) ₂	1299,5(2)	789,9(3)	807,2(2)	132,62(2)	4,76	0,6097
$Sr(IO_3)_2 \cdot H_2O$ [14]	1315,6(16)	774,1(6)	891,4(15)	132,9(3)	4,54	0,6656
$Ba(IO_3)_2$ [7]	1363,8(9)	797,9(2)	903,6(6)	133,62(4)	4,71	0,7118
$Ba(IO_3)_2 \cdot H_2O [8]$	1366,6(2)	798,7(2)	904,8(1)	133,55(1)	4,69	0,7157

^{*} Weitere Struktureinzelheiten können beim Fachinformationszentrum Energie, Physik, Mathematik, D-7514 Eggenstein-Leopoldshafen 2, unter Angabe der Hinterlegungsnummer CSD 53977, der Autoren und des Zeitschriftenzitats angefordert werden.

Die Struktur des Ba(BrO₃)₂ I zeigt Abb. 1. Die erhaltenen Atomparameter sind in Tab. II, die wichtigsten Abstände und Winkel in Tab. III zusammengestellt. Die Metallatome (Punktlage 4e) sind von 10

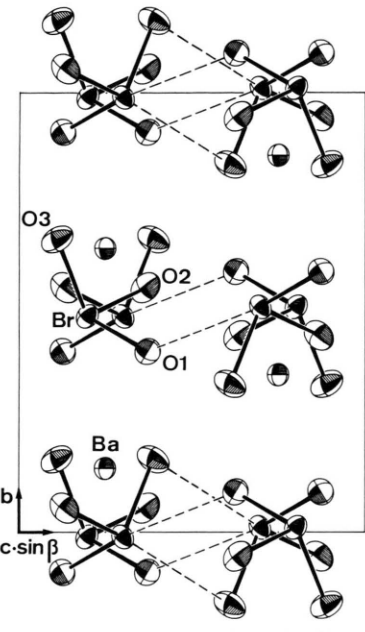


Abb. 1. Ausschnitt aus der Kristallstruktur des Ba(BrO₃)₂ I; ---, kürzeste interionische Br-O-Abstände (s. Tab. III).

Tab. II. Fraktionelle Atomkoordinaten und äquivalente isotrope Temperaturfaktoren des $Ba(BrO_3)_2$ I (Ursprung der Elementarzelle zum besseren Vergleich mit der Struktur der Monohydrate um (1/2, 0, 1/2) gegenüber [7] geändert) und $Ba(BrO_3)_2 \cdot H_2O$ [8]. Die B_{eq} (angegeben als $B_{eq}/10^4~pm^2)$ sind definiert nach $B_{eq}=4/3~\Sigma~\Sigma~B_{ij}a_ia_j$.

Atom	X	y	z	\mathbf{B}_{eq}
Ba(BrO ₃) ₂ I*			
Ba Br O1 O2 O3	0,0 0,19141(7) 0,1889(6) 0,3568(6) 0,0980(6)	0,1440(1) 0,4893(1) 0,409(1) 0,554(1) 0,665(1)	0,25 0,1985(1) 0,3729(9) 0,366(1) 0,110(1)	1,23(1) 1,37(1) 1,8(1) 2,2(1) 2,3(2)
Ba(BrO ₃	$)_2 \cdot H_2O$ in ide	entischer Auf	stellung*:	
$\begin{array}{c} Ba \\ Br \\ O1 \\ O3 \\ O2 \\ O(H_2O) \end{array}$	0,0 0,19267 0,1894 0,3569 0,1017 0,0	0,14524 0,47305 0,4099 0,5312 0,6509 0,797	0,25 0,19167 0,3624 0,3428 0,0952 0,25	

^{*} Numerierung der O-Atome wie in [7] bzw. [8].

Tab. III. Abstände (pm) und Winkel (°) von Ba(BrO₃)₂ I und Ba(BrO₃)₂·H₂O. Symmetrieoperationen: 0 = x, y, z; 1 = -x, y, 1/2 - z; 2 = x, 1 - y, z - 1/2; 3 = 1/2 - x, 1/2 - y, 1 - z; 4 = x - 1/2, 1/2 - y, z - 1/2; 5 = x - 1/2, y - 1/2, z; 6 = 1/2 - x, y - 1/2, 1/2 - z, 7 = -x, 1 - y, -z; 8 = x, 1 - y, z + 1/2.

$Ba(BrO_3)_2 I^*$		Ba(BrO ₃) ₂ ·H ₂ O* [8]			
BaO ₁₀ -Polyeder					
$Ba-O(1)^{0,1}$	285,0(7)	Ba-O(1) $2\times$	290,1(3)		
$Ba - O(1)^{3,4}$	302,1(5)	Ba-O(1) 2×	306,2(3)		
$Ba - O(2)^{5,6}$	278,9(10)	Ba-O(3) 2×	275,5(3)		
$Ba - O(2)^{3,4}$	286,1(8)	Ba-O(3) 2×	302,4(3)		
$Ba-O(3)^{7,8}$	281,5(9)	Ba-O(2) 2×	287,2(3)		
		$Ba-OH_2$	272,9(6)		
BrO ₃ -Ionen					
$Br - O(1)^0$	164,7(9)	Br-O(1)	165,7(3)		
$Br - O(1)^2$	288,5(9)	Br-O(1)	309,7(4)		
$Br - O(2)^0$	166,4(6)	Br-O(3)	165,8(3)		
$Br - O(3)^0$	165,2(8)	Br-O(2)	165,5(3)		
$Br - O(3)^7$	302,1(7)	Br-O(2)	300,5(4)		
$O(1)^0 - Br - O(2)^0$	100,7(4)	O(1) - Br - O(3)	102,8(2)		
$O(1)^0 - Br - O(3)^0$	104,7(5)	O(1) - Br - O(2)	104,2(2)		
$O(2)^0 - Br - O(3)^0$	104,9(4)	O(2) - Br - O(3)	105,6(2)		
$Br^0 - Br^7$	366,3(1)	Br-Br	373,8(1)		

^{*} Numerierung der O-Atome wie in [7] bzw. [8].

Sauerstoffatomen 8 verschiedener Bromationen (Punktlagen von Br, O(1), O(2) und O(3) jeweils 8f) umgeben. Die Ba-O-Abstände liegen zwischen 278,9(10) und 302,1(5) pm, die Br-O-Abstände der Bromationen betragen 164,7(9) bis 166,4(6) pm, die Winkel 100,7(4) bis 104,9(4)°. Die kürzesten interionischen Br-O-Abstände sind mit 288,5(9) und 302,1(7) pm (s. Abb. 1) wie die entsprechenden I-O-Abstände im isotypen α -Ba(IO₃)₂ relativ kurz (s. die Diskussion in [7]).

6. IR- und Ramanspektren

Die Abb. 2 und 3 zeigen die IR- und RamanspektrenderHalogenatedes α -Ba(IO₃)₂-Typs(α -Ba(IO₃)₂, Ba(BrO₃)₂ I und α -Sr(IO₃)₂) sowie des β -Sr(IO₃)₂, die Abb. 4 und 5 Spektren des Ba(BrO₃)₂ III und des γ -Sr(IO₃)₂. Die Spektren zeigen sehr deutlich die Isotypie der Verbindungen des α -Ba(IO₃)₂-Typs. Ein Vergleich der bei Raumtemperatur und der bei der Temperatur des flüssigen Stickstoffs erhaltenen Spektren zeigt, daß in diesem Temperaturbereich keine Phasenumwandlungen stattfinden. Die relativ einfach strukturierten Spektren des Ba(BrO₃)₂ III (s. auch [9, 12]) zeigen keine Ähnlichkeit mit Spektren anderer wasserfreier Halogenate, so daß ein beson-

derer Strukturtyp für Ba(BrO₃)₂ III angenommen werden muß. Das gleiche gilt für β - und γ -Sr(IO₃)₂. Die sehr bandenreichen IR- und Ramanspektren des β -Sr(IO₃)₂ und γ -Sr(IO₃)₂ (Bereich der IO-Streckschwingungen und IO₃-Deformationsschwingungen) lassen darauf schließen, daß die in diesen Verbindungen enthaltenen Iodationen kristallographisch nicht äquivalent sind. Über die IR- und Ramanspektren des Ba(BrO₃)₂ II wird an anderer Stelle zusammen mit den Spektren weiterer Halogenate des Sr(ClO₃)₂-Typs berichtet werden.

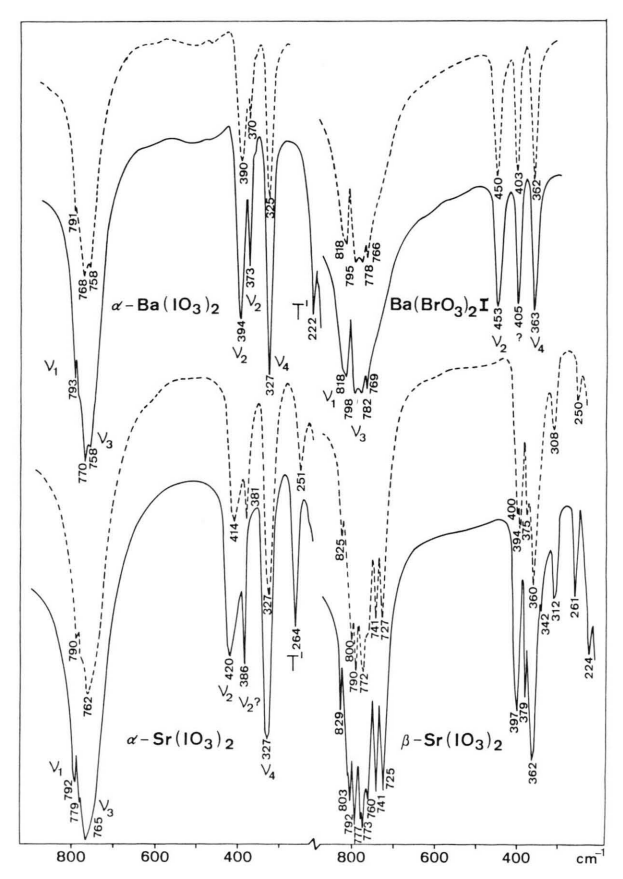


Abb. 2. IR-Absorptionsspektren des $Ba(BrO_3)_2$ I, α -Ba(IO₃)₂, α -Sr(IO₃)₂ und β -Sr(IO₃)₂ bei Raumtemperatur (---) und bei der Temperatur des flüssigen Stickstoffs (—) (Perkin-Elmer 580, Nujol); ν_1 (nach der Schwingungsabzählung (α -Ba(IO₃)₂-Typ) bis zu 2 IR-aktive Schwingungen) und ν_3 (bis zu 4 Schwingungen): sym. und asym. XO-Streckschwingung, ν_2 (2) und ν_4 (4): XO₃-Deformationsschwingungen, T': MO-Translationsschwingungen.

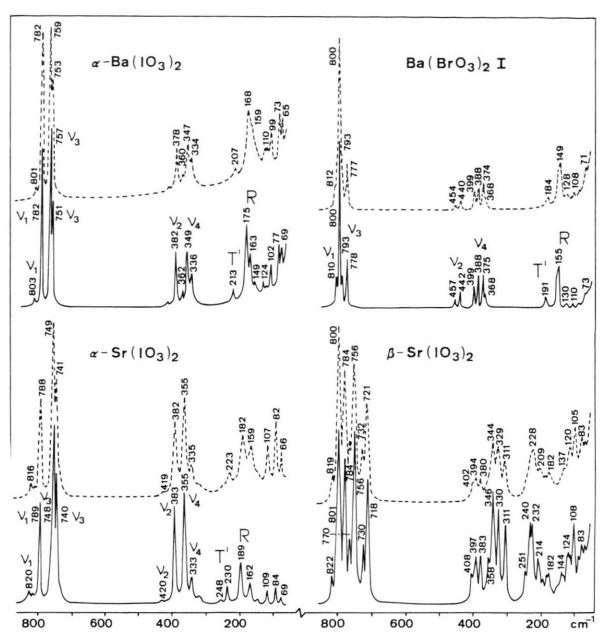


Abb. 3. Ramanspektren des Ba(BrO₃)₂ I, α -Ba(IO₃)₂, α -Sr(IO₃)₂ und β -Sr(IO₃)₂ (Dilor Omars 89, Argonionenlaser 514,5 nm); R Librationen (weitere Abkürzungen s. Abb. 2).

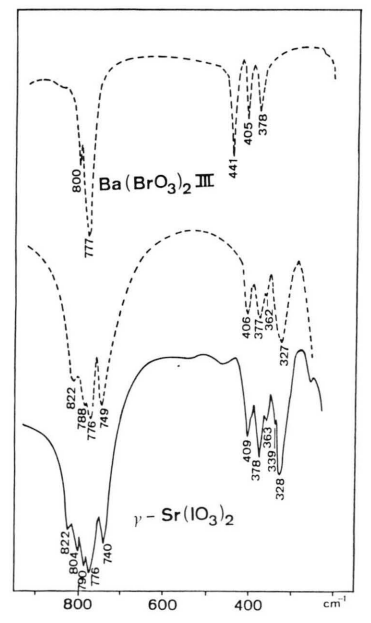


Abb. 4. IR-Absorptionsspektren des Ba(BrO₃)₂ III und γ -Sr(IO₃)₂ (weitere Erklärungen s. Abb. 2).

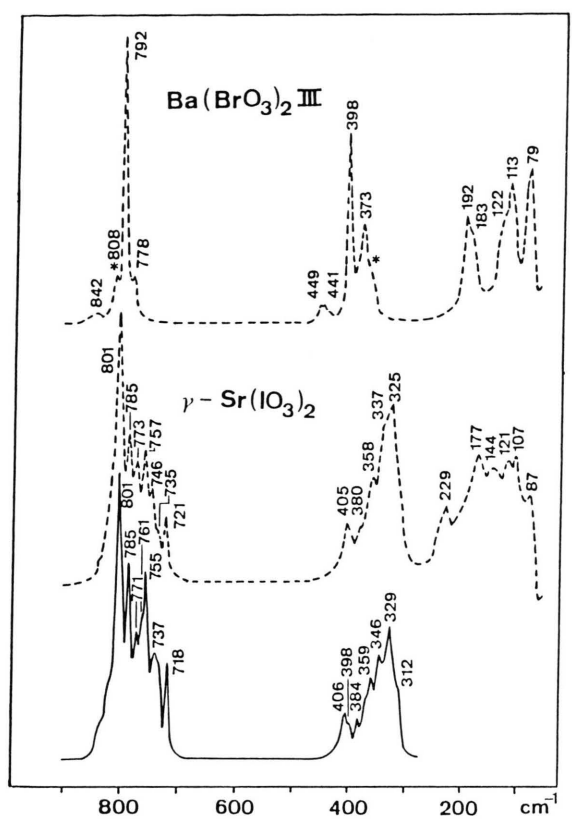


Abb. 5. Ramanspektren des Ba(BrO₃)₂ III und γ-Sr(IO₃)₂ (*, Ba(BrO₃)₂ II (?), weitere Erklärungen s. Abb. 2 und 3).

Die Spektren der Verbindungen des α -Ba(IO₃)₂-Typs zeigen im Vergleich zu denen der strukturverwandten Monohydrate (Ba(ClO₃)₂·H₂O-Typ) [15] sowie anderer wasserfreier Halogenate [3] nur eine relativ kleine Lagegruppenaufspaltung der asymmetrischen XO-Streck- und XO₃-Deformationsschwingungen. Die C_{3v}-Symmetrie freier Halogenationen ist offensichtlich in Verbindungen des α -Ba(IO₃)₂-Typs nur wenig gestört. Dies zeigen auch die nahezu gleichen Br-O-Abstände der Bromationen im Ba(BrO₃)₂ I (s. Tab. III). Siehe hierzu die Diskussion in [16].

Die Schwingungsabzählung (Wellenvektor $\bar{q}\approx 0$) von Verbindungen des $\alpha\text{-Ba}(IO_3)_2\text{-Typs}$ (Basiszellengruppe C_{2h}) ergibt

$$\Gamma = 13 A_g(Ra) + 12 A_u(IR) + 14 B_g(Ra) + 12 B_u(IR)$$

$$\Gamma_{T'} = 4 A_g + 3 A_u + 5 B_g + 3 B_u$$

$$\Gamma_R = 3 A_g + 3 A_u + 3 B_g + 3 B_u$$

$$\Gamma_i = 6 A_g + 6 A_u + 6 B_g + 6 B_u.$$

Eine versuchsweise Zuordnung der beobachteten Schwingungsbanden ist in den Abb. 2 und 3 angegeben.

7. Diskussion

Die Struktur des α -Ba(IO₃)₂-Typs unterscheidet sich nur geringfügig von der der Monohydrate des Ba(ClO₃)₂·H₂O-Typs, die ebenfalls in der monoklinen Raumgruppe C2/c mit Z=4 kristallisieren [8]. Dies zeigen schon die Gitterkonstanten der entsprechenden Verbindungen, insbesondere die der Bariumiodate (s. Tab. I). In der Struktur des α -Ba(IO₃)₂-Typs ist lediglich die Position der Kristallwassermoleküle unbesetzt.

Bei der Dehydratisierung bleibt demnach die Struktur der Monohydrate weitgehend erhalten. Ob die Dehydratisierung topotaktisch erfolgt, wurde nicht näher untersucht. Hinweise auf eine nur partielle Dehydratisierung der Monohydrate bzw. das Auftreten von Mischkristallen des Typs $M(XO_3)_2 \cdot (1-x)H_2O$ fanden wir nicht. Präparate z. B. der Zusammensetzung $M(XO_3)_2 \cdot 0.5 H_2O$ zeigen in den Guinier-Pulveraufnahmen nebeneinander die unveränderten (Netzebenenabstände) Linienmuster der Monohydrate und der wasserfreien Verbindungen.

Von den verschiedenen polymorphen Formen des Strontiumiodats sind γ -Sr(IO₃)₂ und wahrscheinlich auch α -Sr(IO₃)₂ metastabile Verbindungen, so daß β -Sr(IO₃)₂ auch bei Raumtemperatur die einzig stabile Form darstellt. Dagegen sind Ba(BrO₃)₂ II und III offensichtlich (stabile) Hochtemperaturmodifikationen des Bariumbromats, auch wenn die Rückumwandlung der Hochtemperaturformen in Ba(BrO₃)₂ I nicht beobachtet werden konnte.

8. Experimentelles

Die Anfertigung der Röntgenpulver- und Röntgeneinkristallaufnahmen erfolgte wie in [3] beschrieben. Zur Ermittlung der Gitterkonstanten dienten die Rechenprogramme LSUCR [17] und ITO [13]. Die Messung der Röntgenintensitäten des Ba(BrO₃)₂ I erfolgte auf einem Enraf-Nonius CAD 4-Einkristall-diffraktometer mit Graphitmonochromator unter Verwendung von MoK_{α}-Strahlung in ω -2 θ -Abtastung bis $\theta_{\max} = 40^{\circ}$. Die Intensitäten der 2081 gemessenen Reflexe, davon 1975 unabhängig und 1586 mit I $\geq 2\sigma_{\rm I}$, wurden empirisch [18] auf Absorptionssowie auf Lorentz-, Polarisations- und Anomal-dispersionseffekte [19] korrigiert. Die Strukturrech-

nungen erfolgten mit dem Programmsystem SDP [19].

Die Aufnahme der IR-Absorptionsspektren erfolgte wie in [3] beschrieben. Die Ramanspektren wurden in abgeschmolzenen Glaskapillaren mit dem Laser-Raman-Spektrographen Dilor Omars 89 in 90°-Anordnung (Argonionenlaser 514,5 nm) registriert. Für die Registrierung der Ramanheizaufnahmen [20] wurde die Temperiereinheit CRN2 der Fa.

Coderg verwendet. Die Aufnahme der Differenzthermoanalysen erfolgte wie in [11, 20] beschrieben.

Herrn Dr. M. Jung danken wir für die Mithilfe bei der Strukturbestimmung, dem Minister für Wissenschaft und Forschung des Landes Nordrhein-Westfalen und dem Fonds der Chemischen Industrie für die materielle Unterstützung dieser Arbeit.

- [1] G. Nath und S. Haussühl, Appl. Phys. Lett. **14**, 154 (1969).
- [2] S. Haussühl, Acustica 23, 165 (1970).
- [3] H. D. Lutz, W. Buchmeier, E. Alici und W. Eckers, Z. Anorg. Allg. Chem. **529**, 46 (1985).
- [4] D. Dupuis und C. Rocchiccioli, C. R. Acad. Sci. B266, 397 (1968); Anal. Chim. Acta 44, 165 (1969).
- [5] J.-K. Liang, Y.-D. Yu und S.-L. Ding, Wu Li Hsueh Pao, Acta Phys. Sinica 29, 252 (1980).
- [6] E. Alici, W. Buchmeier, M. Jung, Th. Kellersohn, P. Kuske und H. D. Lutz, Z. Kristallogr. 186, 3 (1989).
- [7] V. Petricek, K. Maly, B. Kratochvil, J. Podlahova und J. Loub, Acta Crystallogr. B36, 2130 (1980).
- [8] H. D. Lutz, E. Alici und W. Buchmeier, Z. Anorg. Allg. Chem. 535, 31 (1985).
- [9] G. Djega-Mariadassou, R. Kircher, R. Diament, J. Breiss, F. Gans und G. Pannetier, Bull. Soc. Chim. Fr. 1968, 2726.
- [10] H. D. Lutz, W. Buchmeier, M. Jung und Th. Kellersohn, Z. Kristallogr., im Druck.

- [11] H. D. Lutz, H.-J. Klüppel und H. J. Kesterke, Z. Anorg. Allg. Chem. **423**, 83 (1976).
- [12] B. Tanguy, B. Frit, G. Turrell und P. Hagenmüller, C. R. Acad. Sci. C264, 301 (1967).
- [13] J. W. Visser, J. Appl. Crystallogr. 2, 89 (1969).
- [14] A. M. Manotti Lanfredi, M. A. Pellinghelli, A. Tiripicchio und M. Tiripicchio Camellini, Acta Crystallogr. B28, 679 (1972).
- [15] W. Eckers und H. D. Lutz, Spectrochim. Acta 41A, 1321 (1986) und die weitere dort zitierte Literatur.
- [16] H. D. Lutz, Th. Kellersohn, B. Müller und J. Henning, Spectrochim. Acta 44A, 497 (1987).
- [17] LSUCR, Least Squares Unit Cell Refinement, Programmbibliothek für die Chemie, HRZ Köln.
- [18] A. C. T. North, D. C. Phillips und F. S. Mathews, Acta Crystallogr. A24, 351 (1968).
- [19] Structure Determination Package (SDP) von B. A. Frenz Associates, Inc., College Station, Texas 77840, USA, und Enraf-Nonius, Delft, Niederlande (1987).
- [20] H. D. Lutz, W. Eckers, H. Christian und B. Engelen, Thermochim. Acta 44, 337 (1981).